

## تغییر همزمان اسیدآمینه های Trp258 به Cys و His259 به Tyr در پروتئین ریبوزومی L3 در جهت افزایش تحمل به توکسین DON در گیاه تاریخت توتون

سمیرا شهبازی<sup>۱</sup>، ناصر صفائی<sup>۲</sup>، امیر موسوی<sup>۳</sup>، فروغ سنجربیان<sup>۴</sup> و عزیزالله علیزاده<sup>۵</sup>

۱، عضو هیات علمی گروه کشاورزی هسته‌ای، پژوهشکده تحقیقات کشاورزی، پزشکی و صنعتی سازمان انرژی اتمی،

کرج، ایران، ۲، ۵، اعضای هیات علمی گروه بیماری‌شناسی گیاهی دانشکده کشاورزی، دانشگاه تربیت مدرس، تهران، ایران

۳، ۴، اعضای هیات علمی بخش بیوتکنولوژی گیاهی، پژوهشگاه ملی مهندسی ژنتیک و زیستفناوری، تهران، ایران

(تاریخ دریافت: ۹۱/۱/۲۷ - تاریخ تصویب: ۹۱/۲/۲۰)

### Simultaneous Changes of Trp258 to Cys and His259 to Tyr in Ribosomal Protein L3 in order to Increase Tolerance to *Fusarium* Toxin DON in Transgenic Tobacco

**S. SHAHBAZI<sup>1</sup>, N. SAFAIE<sup>2</sup>, A. MOUSAVI<sup>3</sup>, F. SANJARIAN<sup>4</sup> AND  
A. ALIZADEH<sup>5</sup>**

1, Ph. D. of Molecular Mycology- Plant Pathology, Agricultural, Medical and Industrial Research School, Nuclear Science and Technology Research Institute, Karaj, Iran. 2,5, Department of Plant Pathology, Faculty of Agriculture, Tarbiat Modares University, Tehran, Iran. 3,5 Department of Plant Biotechnology, National Institute of Genetic Engineering and Biotechnology (NIGEB), Tehran, Iran,

(Received: April. 15, 2012 - Accepted: May. 9, 2012)

#### **Abstract**

#### چکیده

Another mechanism for reduction the effects of deoxynivalenol toxin (DON) is target site (RPL3 protein) manipulation. In this study amino acid residue 258 is changed from tryptophan to cysteine and 259 from histidine to tyrosine in tomato ribosomal protein L3 (LeRPL3) cDNA through Site Directed Mutagenesis (SDM). Transgenic tobacco plants expressing these modified LeRPL3 cDNAs were tested for ability of leaf discs to regenerate and produce callus in the presence of DON. Significant differences in callus induction and ability to undergo regeneration was seen in transformed lines as compared to non-transformed tobacco plants in DON assays. Among the mutant types, marked difference with respect to resistance against DON was observed with regenerants expressing LeRPL3WC/HY; and plants expressing LeRPL3H<sup>259</sup>Y giving better response than transformants expressing LeRPL3W<sup>258</sup>C. The results indicate the possibility of increase in DON tolerance (and Fusarium head blight resistance respectively) among the plants based on expression of engineered RPL3.

یکی از مکانیسم‌هایی که در جهت کاهش تأثیرات توکسین داکسی نیوالون DON شناسایی شده، دستورالعمل جایگاه هدف آن پروتئین ریبوزومی L3 (RPL3) می‌باشد. در این پژوهش دو تغییر نقطه‌ای (اسیدآمینه ۲۵۸ از تryptوفان به سیستین و شماره ۲۵۹ از هیستیدین به تیروزین) در توالی cDNA ژن RPL3 گوچه‌فرنگی با استفاده از تکنیک جهش زایی با جایگاه مشخص (SDM) انجام پذیرفت. گیامدل توتون تاریخت با LeRPL3 دستورالعمل شده از نظر توانایی باززایی و تولید کالوس در حضور توکسین DON مورد آزمایش قرار گرفت. تفاوت‌های قابل توجهی از نظر توانایی تولید کالوس و باززایی در حضور DON در لاین‌های تاریخت در مقایسه با شاهد غیرتاریخت مشاهده گردید. در بین جهش‌های منفرد، در گیاهان حاوی LeRPL3H<sup>259</sup>Y پاسخ مقاومت به DON بهتری از خود نشان دادند. نتایج نشان می‌دهد که بیان AYT1 و پروتئین RPL3 دستورالعمل شده می‌توانند در القای تحمل به DON و به دنبال آن افزایش مقاومت به بیماری FHB در گیاهان میزان مؤثر باشند.

**Keywords:** Deoxynivalenol, Ribosomal protein L3

**واژه‌های کلیدی:** داکسی نیوالون، پروتئین ریبوزومی L3

وارد و با کمک آگروباکتریوم به گیاه مدل توتون منتقل شد، تا تعییر در میزان مقاومت این گیاهان تاریخت به توکسین DON مورد بررسی قرار گیرد. شاید بتوان با ایجاد جهش‌های مصنوعی در *RPL3* و انتقال آن به واریتهای حساس گندم مقاومت آن‌ها را نسبت به بیماری FHB افزایش داد.

#### مقدمه

مکانیسم عمل تریکوتوسین‌ها مهار سنتز پروتئین در یوکاریوت‌ها با اتصال به زیر واحد S<sub>6</sub> ریبوزومی و L3 مهار فعالیت پپتیدیل ترانسفرازی آن است. L3 بزرگترین پروتئین ریبوزومی است که نقش اساسی در فعالیت پپتیدیل ترانسفرازی ریبوزوم دارد (Davis and Cundliffe, 1997; Cundliffe *et al.* 1974). در مخمرهای جهش‌یافته‌ای که مقاومت نسبی به تریکودرمین در آن‌ها مشاهده شده است، ماهیت جهش W<sup>255</sup>C تعیین شده که باعث افزایش مقاومت به تریکودرمین در اثر تعییر تریپتوفان ۲۵۵ به سیستئین می‌شود (Schultz and Friesen, 1983; Mitterbauer *et al.* 2004) پس از واردکردن به ژن *RPL3* برجسته به گیاه توتون منتقل کردند. در کشت سوسپانسیون سلولی و ریزنمونه‌های برگی، تفاوت قابل توجهی در سرعت رشد و توانایی تمایزیابی گیاهان تاریخت DON مشاهده شد (Harris and Gleddie, 2001). در *RPL3* مطالعه دیگری جهش Y<sup>259</sup>H در گوچه‌فرنگی وارد و سپس به گیاه توتون انتقال داده شد. در حضور DON پروتئین تعییریافته بیان شده و سبب ایجاد مقاومت در گیاهان توتون تاریخت گردید (Mitterbauer and Adam, 2002).

در حالی که در مقایسه توالی ژن‌های *RPL3* گندمهای مقاوم و حساس به FHB، تفاوتی در توالی نوکلئوتیدی آن‌ها مشاهده نشده است (Lucyshyn *et al.* 2006).

در این پژوهش با توجه به جهش‌های مخمرهای مقاوم به توکسین تغییرات W<sup>258</sup>C و Y<sup>259</sup>H با استفاده از روش جهش‌زایی با جایگاه مشخص<sup>۱</sup> در *RPL3* مربوط به *cDNA* گوچه‌فرنگی

#### مواد و روش‌ها

##### جهش‌زایی در ژن *LeRPL3* با تکنیک جهش‌زایی با جایگاه مشخص

پس از استخراج RNA کل از گیاه گوچه‌فرنگی (رقم Nun-hemz 6108) و به روش RT-PCR با جفت آغازگرهای طراحی شده براساس توالی این ژن در بانک ژن با شماره دسترسی Le *RPL3* AY456411 تکثیر گردید. *cDNA* دارای یک ORF با ۱۱۷۰ جفت باز (۳۸۹ اسید‌آمینه) است و همولوژی بالایی با ژن *RPL3* مخمری دارد که جهش‌های مذکور نخستین بار در آن‌ها شناسایی شد (Mitterbauer *et al.* 2004). همچنین با توجه به مشابهت تاکسونومیک دو گیاه گوچه‌فرنگی و توتون (هر دو از تیره سولاناسه<sup>۲</sup> هستند)، به‌نظر می‌رسد که *LeRPL3* همولوژی بالایی با *RPL3* گیاه توتون داشته باشد لذا از *LeRPL3* برای القای جهش‌های موردنظر استفاده شد. با استفاده از تکنیک SDM و طراح آغازگرهای همپوشانی که دارای جهش‌های نقطه‌ای موردنظر باشند دو قطعه حد وسط واجد هرکدام از جهش‌های C<sup>258</sup>W و Y<sup>259</sup>H ساخته و به یکدیگر اتصال داده شد. جهت دستیابی به ساختار ژنی *RPL3* *W<sup>258</sup>C* یک جفت آغازگر که در نوکلئوتید جایگاه ۷۷۲ جهش تریپتوفان به سیستئین را ایجاد می‌نمایند و مکمل هم هستند

2. Solanaceae

1. Site-directed Mutagenesis (SDM)

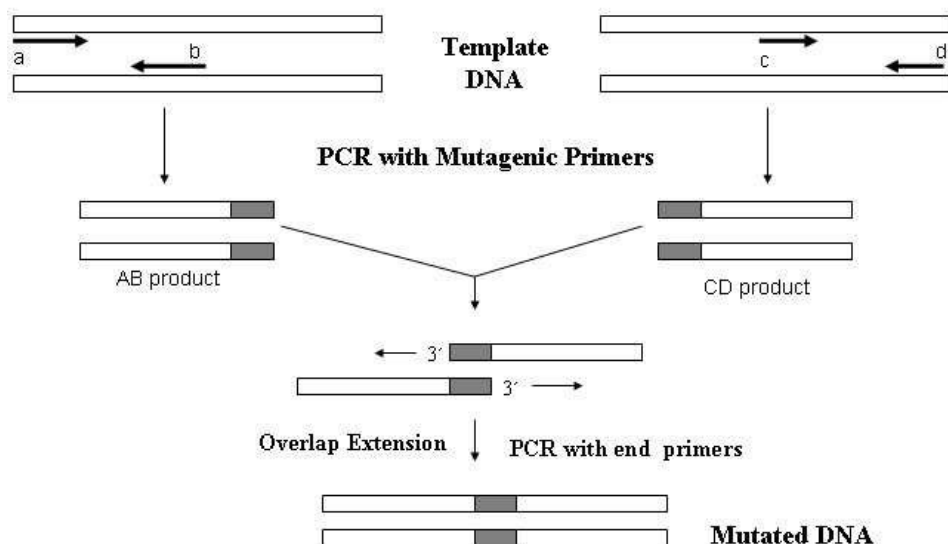
جهش‌یافته‌ها برخوردار بودند، لذا هدف ما در این پژوهش تولید این جهش‌یافته‌ها به صورت انفرادی برای دستیابی به لاین‌هایی از گیاهان ترازیخت با سطح بالاتری از مقاومت بوده است. جفت آغازگرهای جهش‌زا که برای ایجاد جهش  $\text{His}^{259}\text{Tyr}$  (هیستیدین به تیروزین) طراحی شده‌اند نیز دارای یک نوکلئوتید غیرقابل جفت‌شدن<sup>۱</sup> برای ایجاد جهش در نوکلئوتید جایگاه ۷۷۵ (تبديل  $\text{RPL3}$  به  $\text{C}$ ) هستند که توالی آن‌ها را در شکل ۱ مشاهده می‌کنید.

#### 1. Mismatch

طراحی شدند. برای انجام جهش دیگری به شکل  $\text{H}^{259}\text{Y}$  مورد استفاده قرار گرفته است. جهش  $\text{W}^{258}\text{C}$  (در نوکلئوتید شماره ۷۷۳ از  $\text{G}$  به  $\text{C}$  بوده) و سبب تغییر اسیدآمینه شماره ۲۵۸ از تریپتوфан به سیستئین در توالی پروتئین  $\text{Le-RPL3}$  می‌شد. جهش  $\text{H}^{259}\text{Y}$  (در نوکلئوتید شماره ۷۷۵ از  $\text{C}$  به  $\text{T}$  بوده) و سبب تغییر اسیدآمینه شماره ۲۵۹ هیستیدین به تیروزین می‌شد. انتخاب این دو جهش برای تولید  $\text{RPL3}$ ‌های جهش‌یافته از آن جهت بود که هر دو جهش میزان بالایی از افزایش مقاومت به توکسین را در مطالعات قبلی بر روی مخمر و توتون نشان داده و از قدرت باززایی بالاتری نیز در مقایسه با سایر

جدول ۱- آغازگرهای مورد استفاده برای ایجادجهش در ژن  $\text{Le-RPL3}$  با تکنیک SDM

نام آغازگر	توالی آغازگر
W258C (F)	GCTTGTATTGGTGCCCGGCATCCTGCTAGAGTTTCGG
W258RC (R)	ATGCC <u>GGG</u> CACCAATAACAAGCAA
$\text{H}^{259}\text{Y}$ (F)	GCTTGTATTGGTGCC <u>TGGT</u> ATCCTGCTAGAGTTTCGGA
$\text{H}^{259}\text{Y}$ (R)	T <u>ACCAGG</u> CACCAATAACAAGCAA



شکل ۱- طرح شماتیکی از مراحل انجام جهش با جایگاه مشخص با استفاده از واکنش PCR

حدواسط توسط آنزیم *Expand* پلیمراز، از قطعه  $\text{RPL3}$  است به عنوان الگو استفاده شد و دو واکنش پلیمراز برای ساخت دو قطعه که هر دو دارای جهش

واکنش زنجیره‌ای پلیمراز برای جهش‌زا و تکنیک  $\text{RPL3W}^{258}\text{C}$  تکثیر قطعات حدواسط: برای تکثیر قطعات

قبل به عنوان الگو به نسبت ۲:۱ (ویال اول: ویال دوم)، ۲/۳ بافر PCR،  $Mg^{2+}$  و dNTP است که به مدت ۳ دقیقه در دمای ۹۵ درجه سانتی‌گراد گذاشته می‌شود تا مرحله واسرشتاسازی مگا آغازگرها کامل شود. mix2: حاوی ۱/۳ بافر PCR، یون  $Mg^{2+}$  و آنزیم *Expand* است که به mix1 افزوده شده و در واکنشی مطابق جدول ۳ قرار می‌گیرد.

جدول ۳- شرایط دمایی و زمانی واکنش PCR اول برای اتصال قطعات حدواسط

فاز	دما	زمان	تعداد	سیکل‌ها
	(دقیقه)	(درجه سانتی‌گراد)		
واسرشتاسازی	۹۵	۱		
اتصال آغازگر	۶۲	۱	۱۰	
تکثیر	۷۲	۳		

در مرحله نهایی واکنش اتصال mix3: حاوی آغازگرهای ابتدا و انتهای ژن *Le-RPL3* و آنزیم *Expand* برای تکثیر نهایی قطعه ۱۲۰۰ bp به ترکیبات قبلی افزوده شده و در واکنشی مطابق جدول ۴ قرار می‌گیرد.

جدول ۴- شرایط دمایی و زمانی واکنش PCR دوم برای اتصال قطعات حدواسط

فاز	دما	زمان	تعداد	سیکل‌ها
	(دقیقه)	(درجه سانتی‌گراد)		
واسرشتاسازی	۹۵	۱		
اتصال آغازگر	۶۲	۱	۲۰	
تکثیر	۷۲	۱		

علاوه بر آن یک نسخه واحد هر دو جهش نیز تهیه گردید تا تأثیر هر یک از این جهش‌ها در ژن موردنظر با تأثیر جهش همزمان دوگانه مورد مقایسه قرار گیرد. در نهایت محصولات PCR در پلاسمید *pBluescript SK (Strategene)*

$W^{258}C$  و  $H^{259}Y$  بوده و مکمل هم باشند، انجام شد. ترکیبات مورد نیاز برای این دو واکنش در جدول ۱ آمده است.

جدول ۱- ترکیبات مورد نیاز برای سنتر قطعات دارای جهش

ترکیبات	حجم (µl) ویال اول	حجم (µl) ویال دوم
ddH <sub>2</sub> O	۱۷/۳	۱۷/۳
۱۰X PCR Buffer	۱/۵	۱/۵
MgCl <sub>2</sub> (50 mM)	۱	۱
dNTP (10 mM)	۱	۱
TL3-ATG1	۱	-
$W^{258}C$ (F) or $H^{259}Y$ (F)	-	۱
$W^{258}RC$ (R) or $H^{259}Y$ (R)	۱	-
TomMyc-Rv	-	۱
<i>Expand</i> polymerase	۰/۷	۰/۷
<i>RPL3</i>	۱	۱

جدول ۲- شرایط دمایی و زمانی مراحل مختلف واکنش PCR برای تکثیر قطعات حدواسط

فاز	دما	زمان	تعداد	سیکل‌ها
	(دقیقه)	(درجه سانتی‌گراد)		
واسرشتاسازی اولیه	۹۵	۳	۱	
واسرشتاسازی	۹۵	۱		
اتصال آغازگر	۶۲	۱	۳۰	
تکثیر	۷۲	۱		
تکثیر نهائی	۷۲	۱۰	۱	

اتصال قطعات حدواسط: جهت اتصال قطعات حدواسط و به دست آوردن قطعه کامل PCR دوم انجام شد. در این مرحله هر کدام از قطعات حدواسط به عنوان آغازگرهای بزرگ primer Mega عمل می‌نماید. در این واکنش سه ترکیب اصلی به نامهای mix1، mix2 و mix3 ساخته شد. mix1: حاوی قطعات حدواسط به دست آمده از PCR های مرحله

MS+0.1mg/ml NAA+1mg/ml (MS+0.1mg/ml BA) و کالوس‌زایی (MS+0.1mg/ml NAA+10mg/ml Kinetin) که حاوی ۱۰ ppm توکسین DON بود قرار گرفتند. تعداد جوانه‌ها و کالوس‌های جنین‌زای تشکیل شده بر روی قطعات برگی پس از سه هفته مورد شمارش قرار گرفت.

## نتایج و بحث

### جهش‌زایی در ژن *LeRPL3* با تکنیک جهش‌زایی با جایگاه مشخص

ژن *Le-RPL3* و قطعات حد بواسطه واجد هریک از جهش‌ها و ژن دارای جهش دوگانه پس از تکثیر به صورت باند منفرد و در اندازه مورد انتظار، (۱/۲ kb) بر روی ژل الکتروفورز ظاهر گردید (شکل ۲ و ۳). صحت توالی‌های همسانه‌سازی شده با مقایسه با توالی موجود در بانک ژن بوسیله توالی‌یابی تأیید شد و نشان داد که در توالی‌های همسانه‌سازی شده تنها جهش‌های مورد نظر رخ داده است (تغییر کدون TGG به کدون TGC در جهش WC و تغییر کدون CAT به کدون TAT در جهش HY) و بقیه توالی ژن حفظ شده است (شکل ۴).

تراریختی گیاهان توتون با نسخه‌های دست‌ورزی شده *LeRPL3* و آنالیز مولکولی آن‌ها سازه‌های ژنی *RPL3H<sup>259</sup>Y-cmyc* و *RPL3H<sup>258</sup>W<sup>258</sup>C-cmyc* که در پلاسمید pSK+ کلون شده بودند، با هضم آنزیمی توسط آنزیم‌های *SacI* و *BamHI* خارج شده و در پلاسمید *pBI121* تحت پیش‌برنده *CaMV 35S* و خاتمه‌دهنده *NOS* همسانه‌سازی شده و برای تراریختی *A. tumefaciens* سویه LBA4404 به روش ذوب انجامد به کار برده شدند. انتقال جهش‌یافته‌های ژن *RPL3-cmcy* به ریزنمونه‌های برگی گیاه توتون (*Nicotiana tabacum* cv. Xanthi) به کمک آگروباکتریوم تراریخت با دو سازه *RPL3H<sup>259</sup>Y* و *RPL3H<sup>259</sup>Y-cmcy*

به سلول‌های مستعد (*E. coli* (DH5α) انتقال یافته و کلیه‌های حاوی وکتورهای نوترکیب در محیط انتخابی غربالگری و برای توالی‌یابی ارسال گردیدند.

تراریختی گیاهان توتون با نسخه‌های *LeRPL3* دست‌ورزی شده

نسخه‌های ژنی مذکور در ناقل دوگانه گیاهی *pBI121* تحت پیش‌برنده *CaMV 35S* و خاتمه‌دهنده *NOS* همسانه‌سازی گردیدند. سپس به *LBA4404* روش انجامد و ذوب کردن به سویه *Agrobacterium tumefaciens* منتقل و برای تراریختی قطعات برگی<sup>1</sup> گیاهچه‌های توتون (*Nicotiana tabacum* cv. Xanthi) استفاده شدند. گیاهان تراریخت با ژن گزارشگر GUS به عنوان کنترل منفی تولید شدند. تراریختی گیاهچه‌های باززایی شده مقاوم به کاناامایسین (۱۰۰ mg/l) با استفاده از آنالیزهای مولکولی بررسی شد.

### آنالیز مولکولی گیاهان تراریخت

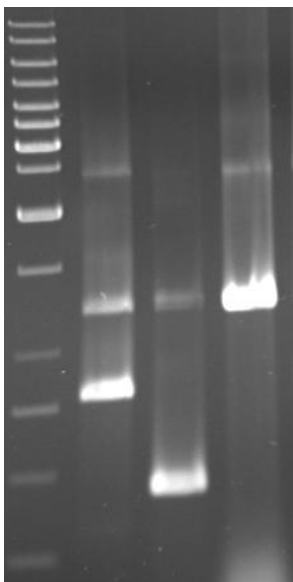
انتقال تراژن به لاین‌های باززایی شده با استفاده از DNA ژنومی استخراج شده از گیاهان و آغازگرهای اختصاصی ژن مورد بررسی قرار گرفت. RNA کل نیز با کیت RNX-Plus<sup>TM</sup> (Cat. No. cDNA RN7713C) از گیاهان استخراج و سپس ساخته شد. با استفاده از آغازگرها و شرایط واکنش RT-PCR مشابه با PCR، نسخه‌برداری از تراژن بررسی شد. انتظار می‌رود که این دو آغازگر قطعه‌ای معادل ۱/۲ kb را تکثیر نمایند.

ارزیابی مقاومت به توکسین از طریق آزمون باززایی و کالوس‌زایی

قطعات برگی به قطر ۱-۲ سانتی‌متر از گیاهان تراریخت، غیرتراریخت و کنترل منفی بر روی محیط

1. Leaf disk

M ۱ ۲ ۳

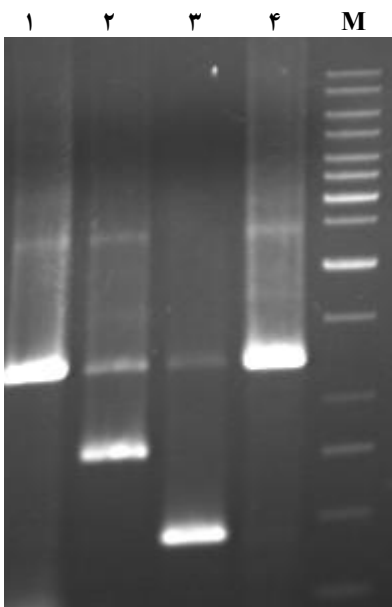


M: نشانگر وزنی ۱ kb (Fermentas)

۱: محصول PCR قطعه ۸۰۰ bp با آغازگرهای TL3-ATG1, WCR

۲: محصول PCR قطعه ۴۰۰ bp با آغازگرهای WCF, TomMycRv

۳: (قطعه ۱۲۰۰ bp) محصول PCR برای اتصال دو قطعه با آغازگرهای ابتدا و انتهای ژن

شکل ۲- الکتروفورز محصولات حدواسط و نهائی در طی ایجاد جهش  $W^{258}C$ بر روی ژن  $RPL3$  با استفاده از SDM

M: نشانگر وزنی ۱ kb (Fermentas)

۱: محصول PCR برای اتصال دو قطعه با آغازگرهای ابتدا و انتهای ژن

۲: محصول PCR قطعه ۸۰۰ bp با آغازگرهای TL3-ATG1, HYR

۳: محصول PCR قطعه ۴۰۰ bp با آغازگرهای HYF, TomMycRv

۴: (قطعه ۱۲۰۰ bp) محصول PCR نهایی  $RPL3H259Y$  با آغازگرهای ابتدا و

انتهای ژن

شکل ۳- الکتروفورز محصولات حدواسط و نهائی در طی ایجاد جهش  $H^{259}Y$ بر روی ژن  $RPL3W^{258}C$  با استفاده از SDM

انجام شد (شکل ۵ و ۶). تیمار شاهد، باکتری‌های حامل پلاسمید بدون قطعه ورودی (-pBI121-) بودند. برای بازیابی گیاهچه‌های تراریخت، محیط بهینه‌سازی شده القای شاخه‌زایی (حاوی آنتی‌بیوتیک

$RPL3 W^{258}C$  به روش ذوب و انجماد<sup>۱</sup> انجام و انتقال موفق ژن‌ها و بیان آن‌ها در گیاهان تراریخت

1. Freeze and thaw method

ریبوزومی L3 تقریباً در همه یوکاریوت‌ها به شدت حفاظت‌شده است و ایجاد جهش بر روی این ناحیه از پروتئین حساسیت ویژه‌ای خواهد داشت. جهش‌هایی که در این پژوهش با روش جهش‌زایی با جایگاه مشخص<sup>۱</sup> انجام شد نیز در درون ناحیه مذکور قرار می‌گیرند (موقعیت ۲۵۸ و ۲۵۹). از سوی دیگر، فرآیند ترازیختی خود ممکن است باعث بروز جهش‌های ناخواسته در گیاهان گردد، اما در لاین‌های ترازیخت به دست آمده در این مطالعه تقریباً هیچ‌گونه نا亨جاري فوتیپی یا ژنتیکی مشاهده نگردید و گیاهان ترازیخت همانند گیاهان غیرترازیخت رشد و نمو طبیعی از خود بهنمایش گذاشتند. نتایج حاصل از آزمون مقایسه بازیابی شاخه گیاهان ترازیخت در محیط حاوی توکسین پس از یادداشت‌برداری با نرمافزار MSTAT-C Ver.1.42

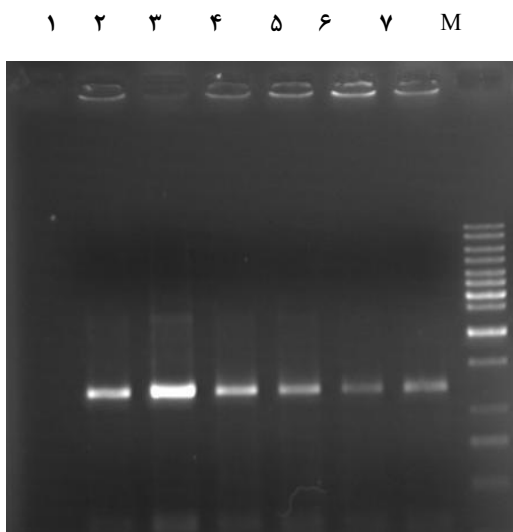
#### 1. Site-directed Mutagenesis(SDM)

RPL3:	PGSKLHKKETCEAVTIVETPPMIVGVVGYVKTPRLRCLNTVWAQHLSEDIKRRFYKNWCK	:	124
RPL3WCmyc:	.....	:	124
RPL3HYmyc:	.....	:	124
	* 140 * 160 * 180		
RPL3:	SKKK AFLKYSKKYETDEGKKDIQAQLEKLKKYACVIRVLAHTQIRKMGLQKKAHLMIEIQV	:	186
RPL3WCmyc:	.....	:	186
RPL3HYmyc:	.....	:	186
	* 200 * 220 * 240		
RPL3 :	NGGSIAQKVDFAYGFFEKFQVPDAVFQKDEMIDIIGVTKGKGYEGVVTRWGVTRLPRKTHRG	:	248
RPL3WCmyc:	.....	:	248
RPL3HYmyc:	.....	:	248
	* 260 * 280 * 300 *		
RPL3 :	LRKVACIGAWHPARVSFTVARAGQNGYHHRTEMNKKVYKLGKVGQESHTALTEFDRTEKDIT	:	310
RPL3WCmyc:	..... C .....	:	310
RPL3HYmyc:	..... Y .....	:	310
	320 * 340 * 360 *		
RPL3 :	PIGGFPHYGVVKEDYLLIKGCCVGTKKRVVTLRQSLLNQTSRVALEEIKLFIDTSSKFGHG	:	372
RPL3WCmyc:	.....	:	372
RPL3HYmyc:	.....	:	372
	380		
RPL3 :	GGFPHY	:	388
RPL3WCmyc:	..... EQKLISEEDL	:	388
RPL3HYmyc:	.....	:	388

شکل ۴- همردیفی توالی اسیدهای آمینه پروتئین RPL3 طبیعی نشان‌دهنده ایجاد تغییر در اسیدآمینه (تغییر W به C) در RPL3W<sup>258</sup>C و تغییر در نوکلئوتید ۲۵۹ (تغییر H به Y) در RPL3H<sup>259</sup>Y است و توالی اپی توپ نیز به انتهای ژن افزوده شده است. توالی های مشابه به صورت نقطه چین نشان داده شده است.

کاتامايسین با غلظت ۱۰۰mg/L استفاده شد. همچنین جلوگیری از رشد آگروباکتریوم با استفاده از آنتی‌بیوتیک سفوتابکسیم با غلظت ۵۰۰ mg/L به عمل آمد. قطعات برگی غیرتراخت در محیط انتخابی به سرعت زرد شدند اما تعداد بسیار زیادی گیاهچه‌های سبز در محیط بازیابی در مدت ۵-۱۰ روز رشد نمودند. از بین گیاهان بازیابی شده در محیط انتخابی ۱۵ لاین (از هر نسخه ژن جهش‌یافته پنج گیاه) که انتقال و نسخه‌برداری تراژن در آن‌ها با آنالیزهای مولکولی به اثبات رسیده بود، در ارزیابی‌های مقاومت مورد استفاده قرار گرفتند. لازم به ذکر است در هیچ‌یک از گیاهان غیرترازیخت و گیاهان ترازیخت واحد ژن گزارشگر GUS هیچ‌گونه باندی با دو آغازگر اختصاصی ژن مشاهده نشد. ارزیابی مقاومت به توکسین از طریق آزمون بازیابی و کالوس‌زایی

ناحیه بین اسیدهای آمینه ۲۶۳-۲۶۰ در پروتئین



۱: کنترل منفی (گیاه غیرتاریخت)

۲: کنترل مثبت (*RPL3* همسانه‌سازی شده در pBI121)

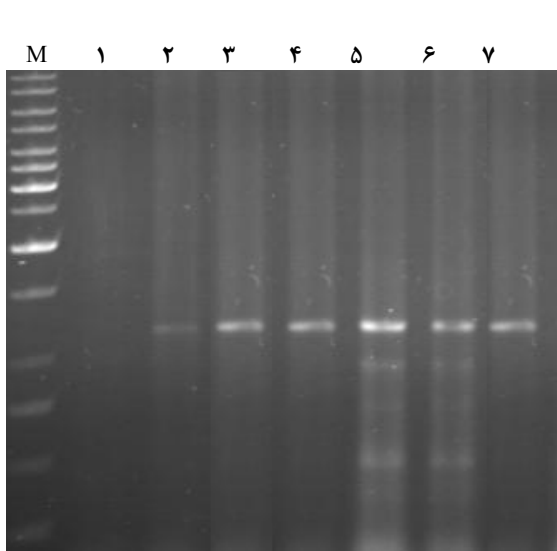
۳: لاین‌های مختلف تاریخت با *RPL3-HY*

۴: لاین‌های مختلف تاریخت با *RPL3-WC*

۵: لاین‌های مختلف تاریخت با جهش دوگانه

۱Kb Ladder (Fermentas) M: نشانگر وزنی

شکل ۵- الکتروفورز محصولات حاصل از gPCR برای تأیید تاریختی گیاهان توتون



M: نشانگر (Fermentas) ۱Kb Ladder

۱: کنترل منفی (گیاه غیرتاریخت)

۲ و ۳: لاین‌های مختلف تاریخت با *RPL3-HY*

۴: لاین‌های مختلف تاریخت با *RPL3-WC*

۵ و ۶: لاین‌های مختلف تاریخت با جهش دوگانه

۷: کنترل مثبت (*RPL3 (WC/HY)* همسانه‌سازی شده در pBI121)

شکل ۶- الکتروفورز محصولات RT-PCR برای تأیید نسخه برداری از ترازن در گیاهان تاریخت

سازه‌زنی *RPL3W<sup>258</sup>C* بود (شکل ۸). نتایج مشابهی نیز در آزمون کالوس‌زایی به دست آمد. بطور کلی جهش *RPL3H<sup>259</sup>Y* در مقایسه با *RPL3W<sup>258</sup>C* سطح بالاتری از مقاومت را در گیاهان تاریخت القا می‌نماید. هرچند در لاین‌های دارای جهش دوگانه مقاومت بالاتری مشاهده شده اما با توجه به نزدیکی میزان مقاومت در آن‌ها با گیاهان

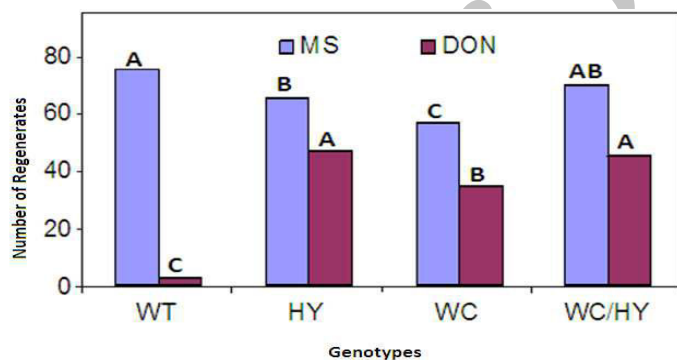
آنالیز و تفاوت معنی‌داری در سطح ۱٪ میان گیاهان تاریخت در مقایسه با گیاهان غیرتاریخت (عنوان کنترل منفی) مشاهده شد (شکل ۷). مقایسه میانگین‌ها با آزمون LSD نشان دادند که تعداد شاخه‌های باززایی شده در لاین‌های تاریخت دارای جهش دوگانه و لاین‌های تاریخت با سازه *RPL3H<sup>259</sup>Y* بالاتر از لاین‌های تاریخت با

مهار می‌کنند (مهار نوع I). در غلظت‌های کاملاً بازدارنده مهارکننده‌های نوع I، شکستن پلی‌زومها رخ می‌دهد. مهارکننده‌های مرحله پایان (نوع T) در هیچ غلظتی سبب شکسته شدن پلی‌زومها نمی‌شوند. حتی اگر mRNA در زمان اضافه کردن توکسین کاملاً توسط ریبوزوم‌ها پوشیده نشده باشد، اندازه پلی‌زوم‌ها افزایش خواهد یافت. مهارکننده‌های مرحله طویل‌شدن (نوع E) حرکت ریبوزوم‌ها را در طول mRNA مهار می‌کنند. در این حالت نیز پلی‌زوم‌ها کاملاً از بین نخواهند رفت. از سوی دیگر نوع مهارکننده‌گی بعضی تریکوتیسین‌ها نتیجه عملکرد

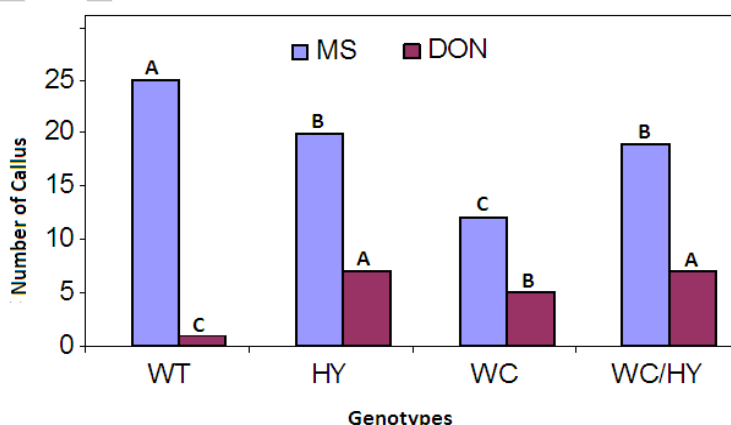
واجد جهش  $RPL3H^{259}Y$  به نظر می‌رسد این جایگزینی در کاهش باندشدن توکسین با جایگاه اثرش (پروتئین3 RPL3) از تأثیر بالاتری برخوردار باشد.

تریکوتیسین‌ها برای اتصال به جایگاه‌های یکسانی با هم رقابت می‌کنند و مکانیسم‌های بازدارندگی متفاوتی براساس اثرات آن‌ها بر سیستم‌های ترجمه در *in vitro* شناسائی شده است (Cundliffe and Davies. 1977) توکسین T-2 و نیوالنول فقط به ریبوزوم‌های آزاد متصل شده و مرحله آغاز ترجمه را

#### 1. Initiation



شکل ۷- مقایسه توانایی باززایی (Regeneration) در گیاهان تراریخت با نسخه‌های جهش‌یافته ژن *Le-RPL3* در محیط و در حضور ۰.۱۰ ppm DON MS، گیاه غیرتراریخت؛ HY، گیاهان تراریخت با جهش  $RPL3H^{259}Y$ ؛ WC، گیاهان تراریخت با جهش  $RPL3W^{258}C$  و WC/HY گیاهان تراریخت با جهش دوگانه)



شکل ۸- مقایسه توانایی تولید کالوس (Callus induction) در گیاهان تراریخت با نسخه‌های جهش‌یافته ژن *Le-RPL3* در محیط MS و در حضور ۰.۱۰ ppm DON MS، گیاه غیرتراریخت؛ HY، گیاهان تراریخت با جهش  $RPL3H^{259}Y$ ؛ WC، گیاهان تراریخت با جهش  $RPL3W^{258}C$  و WC/HY گیاهان تراریخت با جهش دوگانه)

RPL3 تغییر یافته به تنها یی از کارایی کافی برای افزایش مقاومت به توکسین برخوردار نباد. لذا در مطالعات بعدی خاموش کردن ژن‌های *RPL3* درونی گیاه و بررسی میزان مقاومت در حضور ژن‌های جهش یافته برای بررسی پتانسیل این مکانیسم در تقویت مقاومت پیشنهاد می‌شود.

با توجه به مزایا و معایبی که برای هریک از مکانیسم‌های مولکولی متنداوی افزایش مقاومت به توکسین‌ها اشاره شد، دست‌یابی به سطوح مقاومت بالاتر با توسعه لاین‌های تاریختی که مکانیسم‌های متعدد مقاومت از قبیل *RPL3* جهش یافته، سمزدایی توسط آنزیم‌ها و سایر راهکارها در آن مجتمع شده باشد قابل دسترس خواهد بود.

### سپاسگزاری

از پژوهشگاه ملی مهندسی ژنتیک و زیست فناوری، طرح ۲۵۹ و گروه بیماری‌شناسی دانشکده کشاورزی دانشگاه تربیت مدرس به‌دلیل فراهم‌آوری امکانات انجام این پژوهه تشکر و قدردانی می‌گردد.

### REFERENCES

- Cundliffe E, Davis JE. (1997) Inhibition of initiation, elongation and termination of eukaryotic protein synthesis by trichothecens fungal toxin. *Antimicrobial Agents and Chemotherapy*. 11(3): 491-99.
- Cundliffe E, Cannon M, Davies J (1974) Mechanism of inhibition of eukaryotic protein synthesis by trichothecene fungal toxins. *Proc. Natl. Acad. Sci. USA*. 71: 30-34.
- Harris LJ, Gleddie SC (2001) A modified *Rpl3* gene from rice confers tolerance of the *Fusarium graminearum* mycotoxin deoxynivalenol to transgenic tobacco. *Physiol. and Mol. Plant Pathol.* 58: 173-181.
- Lucyshyn D, Bush BL, Abolmaali Sh, Steiner B, Chandler E, Sanjarian F, Mousavi A, Nicholson P, Bursmayr H, G Adam (2006) Cloning and Characterization of ribosomal protein L3(RPL3) gene family from *Triticum aestivum*. *Mol. Genet. Genomics.* 2: 122-134.
- Schultz LD, Friesen JD (1983) Nucleotide sequence of the *tcml* gene (Ribosomal protein L3) of *Saccharomyces cerevisiae*. *J. Bacteriol.* Jul. 155 (1): 8-14.
- Mitterbauer R and Adam G (2002) *Saccharomyces cerevisiae* and

غلظت آن‌ها است و این سبب پیچیده‌شدن تعیین اثر آن‌ها می‌شود (Cundliffe and Davies. 1977). نتایج بررسی‌ها حاکی از آن است که DON در غلظت‌های پایین به عنوان مهارکننده نوع T و در غلظت‌های بالا به عنوان مهارکننده نوع E عمل می‌کند (Cundliffe and Davies. 1977). بنابراین در حضور DON حرکت ریبوzوم‌های حاوی *RPL3* نوع طبیعی، متوقف شده یا به‌دلیل مهار مرحله پایان بر روی mRNA باقی می‌مانند. در واقع تجمع *RPL3* تغییر یافته ایجادکننده مقاومت در حضور توکسین می‌تواند یا به دلیل فروپاشی انتخابی و تجزیه ریبوzوم‌های مهارشده یا به‌دلیل تجمع *RPL3* تسهیل شده *RPL3* مقاوم باشد و بیان تغییر یافته وابسته به حضور توکسین در محیط است. لذا می‌توان نتیجه گرفت که *RPL3* تغییر یافته ناپایدار بوده و یا در رقابت با *RPL3* طبیعی برای تجمع در ریبوzom بازنده است. به علاوه غلظت توکسین مصرفی در این آزمایشات نیز ۱۰ ppm بوده که با توجه به غلظت توکسین تولید شده در غلات آلوده (بیش از ۲۰۰ ppm)، به نظر می‌رسد استفاده از

*Arabidopsis thaliana*: useful model systems for the identification of molecular mechanisms involved in resistance of plants to toxins. Eur. J. Plant Pathol. 108: 699-703.

Mitterbauer R, Poppenberger B,

Raditschnig A, Lucyshyn D, Lemmens M, Gloss and Adam G (2004) Toxin-dependent utilization of engineered ribosomal protein L3 limits trichothecene resistance in transgenic plants. J. Plant Biotechnol. 2: 329-340.

Archive of SID